

87158
TQE
反
唐
1954

点式机車自動信号 及自動停車裝置

A · A · 唐 秋 尔

M · П · 克拉斯尼科夫 合著

B · Я · 索包列

人民鐵道出版社

本書主要叙述点式机車信号的动作原理、电路圖及其机械，同时，並說明机車信号設備之維修、管理及机件之調整。

本書供鐵路电務部門信号工程技术人员，設計及施工部門工程技术人员之業務参考。

原書第一章第1～4节和第三章由A·A·唐秋尔著，第二章、第一·章第5节和第五章第2～7节由M·П·克拉斯尼科夫著，第五章第1节、第四、六及七章由B·Я·索包列夫著。

本譯第一、二、四、五及六章和第七章第1、2节由武正貴譯，第三章石海容譯、武正貴校，第七章第3节童以新譯、武正貴校。

目 录

序 言.....	2
第一章 本設備的技术运营特征.....	3
第二章 線路感应器和机車感应器.....	29
第三章 电子管振盪器.....	38
第四章 譯碼器.....	57
第五章 机車其他設備.....	77
第六章 机車上机械的佈置和安裝.....	98
第七章 檢查測試設備.....	103

序　　言

苏联铁路运输科学研究院研究出来的点式感应谐振自动停車裝置及連續式机車自动信号和自動停車裝置，近年来在苏联鐵路上已广泛推行。

現在研究院已研究出新的三显示点式机車自动信号和自動停車裝置。与点式自动停車裝置比較，这种机車信号具有显著的优点，因为它除了以强制的作用到列車制动系統外，还把信号显示从線路上自动地傳遞到司机室內。本設備在線路上不需要电源，它主要被运用在安裝有半自動閉塞和电气路签制的铁路区段上。除了当列車接近車站时，加强列車运行条件，加速列車在車站上的通过及預防列車冒进信号外，本設備尚不需要安設預告圓牌和有半自動閉塞設備时的通过圓板。

点式机車信号是由 A·A·唐秋尔工程师建議的，並由研究院 A·A·唐秋尔、B·Я·索保列夫和 M·П·克拉斯尼科夫共同研究出来的。它在試驗区段进行过使用試驗，以备广泛运用。

交通部『运输通信』工厂完成了机械結構的試制；运输工程部『国家运输信号通信設計院』編制了机車信号試驗区段及运营区段的設計文件。

交通部电务总局工作人員对本設備之研究工作，及欧姆斯科铁路工作人員对本設備試驗区段的試驗工作曾都給予莫大的帮助。

研究院院長 И·А·依万諾夫
电 务 科 長 В·В·魏霍德采

第一章 本設備的技术运营特征

第1节 本設備的簡圖和运营特点

点式机車自动信号和自动停車裝置能把信号显示自动地傳輸到机車司机室內，当司机未按压專用的警惕手柄，且未以此証实他確認从綫路上傳來的信号时，要使列車强迫停車。

在裝有本設備的綫路設備的綫路个别地点，向机車司机室傳輸信号显示。在任何列車运行联络方法的綫路上，都可以採用点式机車信号，因为它在綫路上不需要轨道电路和电源设备。它主要供裝有半自動閉塞和电气路签制的鐵路上使用，特別在綫路信号机显示不良的区段上（在那些地形交错又有很多小半徑曲綫地段，路塹地段，隧道地段，以及時常有霧和風雪的区域）。

点式机車信号与綫路向机車上只能傳輸一种有效反应的点式自动停車裝置的不同点，是可以傳輸三种反应，在机車上也能收到三种信号显示：綠色——准許列車由車站通过，黃色——准許列車进入車站停車，紅黃色——当进站信号机关閉时。增加由綫路傳遞来的反应数量，能提高車站行車安全，加强列車的运行条件，加速車站的通过能力，並可以不設預告圓牌和通過圓牌。

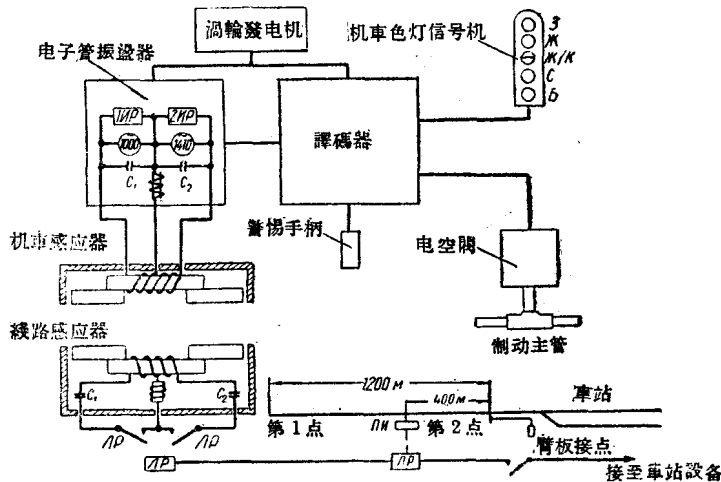
在設有半自動閉塞和电气路签制的区段上，从綫路向机車上傳遞信号显示，是在进站綫路上的兩個地点：距进站信号机为1200公尺和400公尺处。

重复信号显示的目的，是把进站信号机的显示情况再一次通知司机，該信号显示在列車由第一信号点向第二信号点通行的这时间段可能有所改变，並且在列車进站前再一次檢查司机的警惕性。在第二信号点处，於信号显示的同时向机車司机室傳遞有关

列車接近車站的特別通知。这个通知是用着字母 C 的白灯来实现，从而帮助司机了解列車所在地。

安設第二信号点、採用預告机車信号及其与电气路签制的結合，是由技术科学候补博士 B·C· 梁贊切夫和 A·A· 辽諾夫工程师建議的。

点式机車信号的机車設備及線路設備的簡圖，如第 1 圖所示。借助本設備的線路感应器和机車感应器實現由線路向机車上傳輸信号显示。線路感应器裝設在鋼軌外側、列車运行方向右侧的枕木上，与鋼軌面成水平。机車感应器懸掛在机車上，当列車运行时，它从線路感应器上面通过，二者之間的空气間隙为 150 公厘。線路感应器和机車感应器的結構相同：它們都是由鐵心和繞在鐵心上的兩個綫卷組成的，其中一个綫卷的諧振頻率为1000 赫，另一个諧振頻率为1410 赫。



第 1 圖 机車信号设备簡圖

線路感应器是無源元件，因为它的綫卷沒有电源。線路感应器以电的关系与控制进站信号机和出站信号机状态的信号集中閉塞设备相关联，由於信号的显示不同，而組成頻率为1000赫或1410

赫的諧振電路，或同時組成這兩頻率的諧振電路。閉合信號集中閉塞繼電器 IP 的接點，能變換線路感應器的諧振（見第 1 圖）。

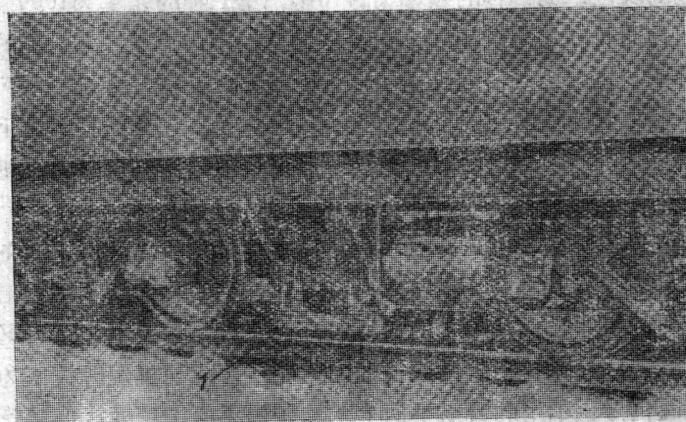
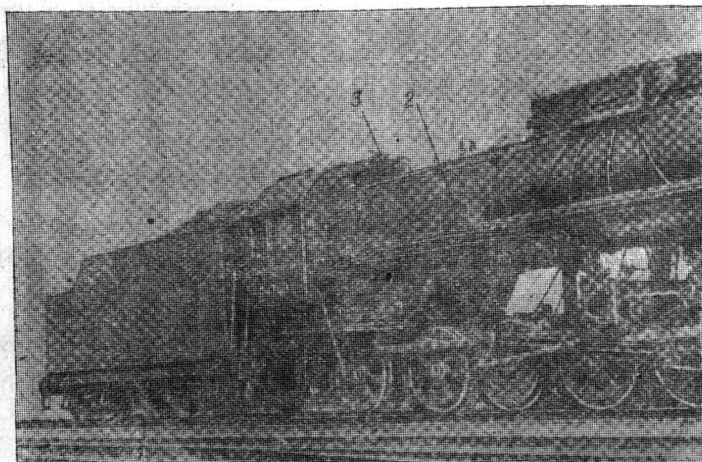
機車感應器是本設備的有源元件；在其線圈內通以交流，它的頻率與電路的諧振頻率相同，也就是，等於 1000 赫及 1410 赫。交流是由包括有兩個振盪級的電子管振盪器產生的，其中的每一個振盪級要向機車感應器的有關電路和有關脈沖繼電器供電。交流通過機車感應器線圈以後，在鐵心內和感應器周圍的空間產生交變磁通，由該磁通的作用使線路設備和機車設備聯繫起來，並保證從線路向機車上傳輸反應。

線路感應器向機車感應器反應的特點，是使機車電路內的電流有顯著的降低，振盪級自動地反應電流降低，並停止振盪。同時，由該振盪級供電的脈沖繼電器的銜鐵落下，並將所收到的反應傳輸的譯碼器。譯碼器的繼電器動作，從而操縱機車色燈信號機的燈光和與列車制動主管相連接的電空閥。

由於本設備利用雙頻率，因此從線路向機車上可以傳輸三種不同的反應：第一種的頻率為 1410 赫，第二種的頻率為 1000 赫，第三種同時有這兩個頻率。在第一種情況下， $2IP$ 繼電器的銜鐵落下，機車色燈信號機顯示紅黃色燈光；在第二種情況下， $1IP$ 繼電器的銜鐵落下，並顯示黃色燈光；在第三種情況下， $1IP$ 和 $2IP$ 兩繼電器的銜鐵同時落下，並顯示綠色燈光。機車色燈信號機的着燈是通過譯碼器實現的。

機車色燈信號機正常狀態顯示白色燈光，系表示機車設備接入並處於良好狀態，而電空閥在有電狀態。當從線路上接收信號反應時，機車色燈信號機的白燈將變成有關信號顯示，而 $\Theta\Gamma\mathrm{K}$ 成無電狀態，結果， $\Theta\Gamma\mathrm{K}$ 的汽笛開始鳴響，要求司機短時按壓為証實確認信號顯示用的警惕手柄 PB 。警惕手柄按壓後，電子管振盪器激勵，脈沖繼電器勵磁， $\Theta\Gamma\mathrm{K}$ 的汽笛停止鳴響，但是，信號燈光的燈泡持續着燈 7 ~ 8 秒鐘，這一段時間足夠司機辨認所收

到的信号。这段时间过去以后，信号灯光熄灭，而机車色灯信号机重新着白灯。如果司机未按压警惕手柄，那末鳴笛后經 7 秒鐘左右 $\Theta\Gamma\mathrm{K}$ 动作；並使制动主管与外面大气相通，因而开始列車的紧急制动，这个制动在列車未停稳前不能停止。司机不能中断已



第 2 圖 机車上机械的佈置：

1——机車感应器； 2——总箱； 3——渦輪發电机

开始的列車緊急制動，因为緩解制动机及列車繼續运行仅在車長把电空閥鑰匙交給司机以后才能办到。这样一来，所有由自動停車裝置引起緊急停車时，指定車長到机車上，並且必須使用电空閥鑰匙。

由直流 50 伏的电源向机車設備供电。照明用的 ТГ-1-50 型或ТГ-1Р型渦輪發电机作为蒸汽机車上的这个电源。正常时消耗功率不超过 100 瓦，但是，当接收信号显示时，可短时增至 150 瓦。

蒸汽机車上机械的佈置，如第 2 及 59 圖所示。在机車司机室內設兩個机車色灯信号机（一个是在司机附近，另一个在副司机附近），一个电空閥（在司机座席的后面），一个警惕手柄（在司机室右壁上、窗口上面或下面）及由常用渦輪發电机轉換到备用渦輪發电机的电源轉換器。电子管振盪器和譯碼器裝在一个总箱內，該总箱設在机車的右侧走行鋁上，机車感应器懸掛在煤水車右侧，兩車輪間的車底架上。

第 2 节 从線路向机車上傳輸反应的原理

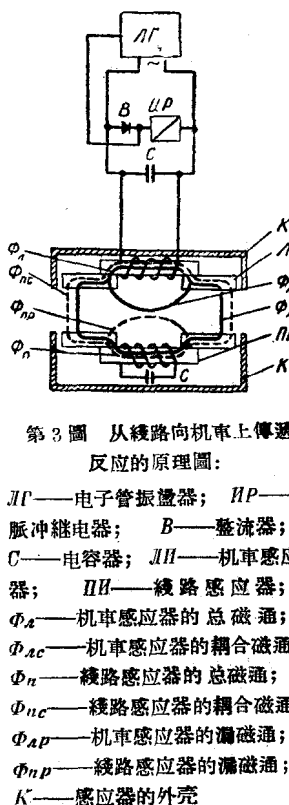
列車在任何实际可能的速度运行下，保証从線路向机車上可靠地傳輸反应，是机車信号的主要技术問題。利用兩諧振电路之間的互感作用的理論，借助線路感应器和机車感应器来解决这个问题。

从电气方面說，机車感应器和線路感应器均为双槽路諧振式。但是，由於在一个感应器內諧振电路之間互不影响，所以感应器之間的互相作用，可看成一个电路的感应器之間的相互作用。

單槽路諧振的感应器从線路向机車上傳輸反应的原理圖，如第 3 圖所示。將机車感应器 II 的諧振电路接通交流电源——电子管振盪器 II' 和脉冲繼电器 II''；線路感应器 III 没有电源設備。正常状态电子管振盪器所产生的交流电流，通过机車感应器

的线圈，而脉冲继电器保持自己的衔铁在吸上状态。通过机车感应器线圈的交流电流产生磁通 Φ_A ，该磁通主要经过感应器下部磁极之间的空气间隙而闭合。用非磁性的金属外壳K，靠着壳内产生的

的涡流，而屏蔽感应器上面和侧面的磁通。机车感应器的部分磁通 Φ_{Ac} （耦合磁通）环连线路感应器的铁心，则在其电路内感应出电流。这个感应电流在线路感应器内产生磁通 Φ_n ，由於线路感应器的下面和侧面包有金属外壳K，则该磁通主要经过空气间隙连通在感应器之间。而其中部分磁通 Φ_{nc} （耦合磁通）通至机车感应器，因而在其谐振电路内产生电流，这个电流方向与电子管振荡器在此电路中所产生的电流方向相反。感应器之间互相作用的结果，是使机车感应器内的电流显著的降低。这就是从线路向机车上传递反应的原理。



第3圖 从線路向機車上傳遞
反應的原理圖：

HP——电子管振盪器； IP——
脈冲繼电器； B——整流器；
C——电容器； LI——机車感应器；
LI'——线路感应器；
 Φ_A ——机車感应器的总磁通；
 Φ_{Ac} ——机車感应器的耦合磁通；
 Φ_n ——线路感应器的总磁通；
 Φ_{nc} ——线路感应器的耦合磁通；
 Φ_{Ap} ——机車感应器的漏磁通；
 Φ_{nP} ——线路感应器的漏磁通；
K——感应器的外壳

由於机车上电子管振盪器中断振盪和脉冲继电器IP的衔铁落下，而记录下从线路传输来的反应。用电子管振盪器的特殊电路达到这个目的，由於这个，振盪器电路具有电子继电器的特性。这个电路的特点，是电子管振盪器在机车电路中所产生的交流电压，由整流器B整流，再反馈到振盪管。特别是为了这个目的，应利用脉冲继电器IP线圈上整流后的电压。用这一方法把整流后的电压供给电子管，当机车感应器中电流降低时，振盪器自激条件变坏，如果电流大致降低到两倍或以上，那末，电子管振盪器便停止振盪。实际上由电子管振盪器供电的脉冲继电器，

在本質上仅仅起到振盪器之复示器的作用。

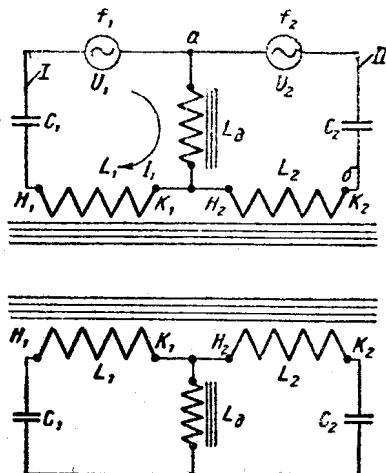
如果兩感应器成諧振，其頻率为供电电流頻率，那么，感应器之間發生耦合的磁通 Φ_{ac} 和 Φ_{nc} 仅为总磁通 Φ_s 及 Φ_n 的 15%（磁通的其余部分以漏磁通 Φ_{sp} 及 Φ_{np} 形式在空气中損失），但在机車感应器电路內的电流可降低足够大。当电路諧振时，其电抗將等於零，因此电路的阻抗便显著的降低，而其中的感应电流將急剧的增大。例如，感应器諧振时，在其綫卷內的电流增加到 14 倍。結果，綫路感应器給予机車感应器的反应增加多少倍，机車感应器接收这个反应的灵敏度也增加多少倍。由於諧振电路这些优越特性，甚至当感应器之間空气間隙較大及它們之間的耦合較弱时，也能可靠地从綫路上向机車上傳輸反应。

双頻感应諧振傳輸法的原理圖，如第 4 圖所示。从电气方面來說，綫路感应器和机車感应器是相同的。每一个感应器有兩個諧振頻率不同的諧振电路。扼流圈是兩电路共用的元件。电路 I 及 II 的諧振頻率由下面公式确定之：

$$f_1 = \frac{1}{2\pi\sqrt{(L_1 + L_\theta)C_1}};$$

$$f_2 = \frac{1}{2\pi\sqrt{(L_2 + L_\theta)C_2}},$$

式中 L_1 和 L_2 ——感应器綫圈的电感（亨）；
 C_1 和 C_2 ——电路 I 及 II 的电容器的容量（法）；
 L_θ ——扼流圈的电感（亨）。



第 4 圖 双頻感应諧振傳
輸法的原理圖

感应器电路的特点，是在一个感应器內的兩個回路互不影响的工作着，尽管他們之間有强烈的磁耦合（感应器的綫圈位於共用鐵心上，其磁耦合系数接近 1）。借助接在兩电路共用回路上的扼流圈，用感应器綫卷之間磁耦合的补偿，达到这个目的。

現在証明在什么条件下能消除兩电路之間互相影响。为此，假設电容器 C_2 拿掉，而在电路 I 中有由电源 U_1 供給的交流电流 I_1 。此时在回路 II 線卷中的感应电动势將等於 $E_m = I_1 \omega M$ ，而扼流圈上的电压降 $U_\theta = I_1 \omega L_\theta$ 。其中 M ——感应器綫卷之間的互感，等於

$$M = k \sqrt{L_1 L_2} ,$$

式中 k ——感应器綫卷之間的耦合系数。

电路 II 上 a 与 δ 兩点間的电压等於 E_m 和 U_θ 的和或差：

$$U_{a\delta} = U_\theta \pm E_m = I_1 \omega L_\theta \pm I_1 \omega M.$$

正号或負号由电路綫圈的連接方法——正接或反接决定之：当正接时如圖所示，电压是相減的。

当兩电路綫圈端正接及 L_θ 等於 M 时，則总电压 $U_{a\delta}$ 及电路 II 中的电流將等於零，与 $a\delta$ 兩点所連接的負載無关。这就是电路互相影响的补偿条件，因为再这样討論綫圈 II，也得到相同的結果。

为了从綫路上得到三个不同的反应，必須將綫路感应器电路如下配合連接：

(a) 將 I 接入，II 断开，(b) 把 II 接入，I 断开，(c) 将兩回路均接入。在原則上，断开电路用两个方法：把回路断开（切断电容器）或者使回路短路（将电容器短路）。根据实用特点，有許多理由選擇第一种方式。

为了简化綫路感应器和机車感应器电路的調諧，它們的綫圈作成相同的，並使繞制綫圈之間的耦合系数等於 1，而互感 M 等

於感应器綫圈电感 L (当 $k=1$ 及 $L_1=L_2=L$ 时; $M=k\sqrt{L_1L_2}=L$)。由此, 扼流圈的电感 L_o 等於感应器綫圈的电感 L 。

第 3 节 說明感应諧振傳輸法的基本关系

从綫路向机車上傳輸反应的可靠性, 由机車感应器电路中电流降低的大小来确定, 該电流降低的大小是由綫路感应器引起的。我們把这个值叫作相互作用系数。並用 K_o 表示。这样可以写成

$$K_o = \frac{I_{A_o}}{I'_A}, \quad (1)$$

式中 I_{A_o} ——当机車感应器电路成諧振状态和綫路感应器不起作用时机車感应器电路中的电流;

I'_A ——当綫路感应器作用到机車感应器电路时机車感应器电路中的电流。

电流 I_{A_o} 及 I'_A 的公式如下:

$$I_{A_o} = \frac{E}{r_A}; \quad (2)$$

$$I'_A = \frac{E}{\sqrt{\left[r_A + \frac{(\omega M)^2}{Z_n^2} r_n \right]^2 + \left[X_A - \frac{(\omega M)^2}{Z_n^2} X_n \right]^2}}, \quad (3)$$

式中 E ——作用到机車回路中的电动势;

$Z_n = \sqrt{r_n^2 + X_n^2}$ ——綫路回路的阻抗 (欧姆);

$X_n = \omega L_n - \frac{1}{\omega C_n}$ ——綫路回路的电抗 (欧姆);

$X_A = \omega L_A - \frac{1}{\omega C_A}$ ——机車回路的电抗 (欧姆);

$\omega L'_A, \omega L_A$ ——綫路感应器和机車感应器綫圈的电抗 (欧姆);

$\frac{1}{\omega C_n}, \frac{1}{\omega C_A}$ ——綫路感应器和机車感应器电容器的电抗 (欧姆);

r'_n, r_A ——綫路感应器及机車感应器的电阻（欧姆）；

L_n, L_A ——有关感应器线圈的电感（亨）；

M ——感应器线圈之间的互感（亨）；

C_n, C_A ——有关感应器电容器的容量（法）；

$\omega = 2\pi f$ ——角频率；

f ——频率（赫）。

当綫路感应器和机車感应器以供电电流之频率谐振时， $X_n = X_A = 0$ ，則 $Z_n = r_n$ 。將 X_n, X_A 及 Z_n 值代入式 (3) 就得到谐振时电流值

$$I'_{A0} = \frac{E}{r_A + \frac{(\omega M)^2}{r_n}}. \quad (4)$$

将所得的结果与公式 (2) 相比較，可以証明谐振状态的綫路感应器对机車电路电流的影响，等效於該电路有效电阻增加 $\frac{(\omega M)^2}{r_n}$ 。

因此，在这种情况下，用接入机車电路一个相当值电阻的方法，可以人为地表达調諧的綫路感应器的作用。由於这个方法簡單又方便，在决定电子管振盪器的灵敏度，以及在沒有綫路感应器存在来測試机車設備时，都被广泛採用。

当感应器谐振时，將 I_{A0} 与 I'_{A0} 的值相应的由公式 (2) 与 (4) 代入公式 (1)，就得到相互作用系数的公式：

$$K_{\theta_0} = \frac{I_{A0}}{I'_{A0}} = \frac{r_A + \frac{(\omega M)^2}{r_n}}{\frac{r_A}{r_n}} = 1 + k^2 Q_A Q_n, \quad (5)$$

式中 $k = \frac{M}{\sqrt{L_A L_n}}$ ——感应器线圈之间耦合系数；

$Q_A = \frac{\omega L_A}{r_A}$ ——机車感应器的質量因数；

$$Q_n = \frac{\omega L_n}{r_n} \quad \text{—— 線路感應器的質量因數。}$$

由所得到的公式可以看出，感應器諧振時的相互作用系數，僅決定於諧振電路的質量因數與它們之間的耦合系數。

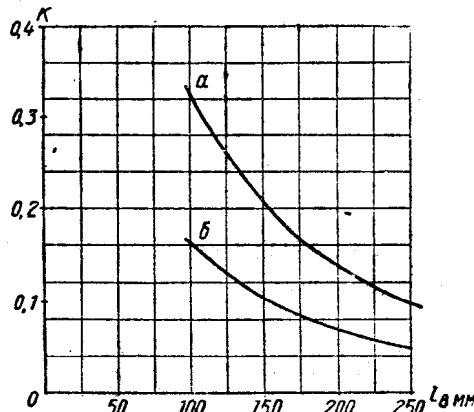
質量因數說明電路的諧振質量：它表明線圈諧振時其中電流增加的倍數。線路與機車感應器的質量因數不僅決定於它們的結構與大小，而且還決定於電流的頻率。我們所研究之感應器的結構，具有厚0.35公厘變壓器高級合金鋼的鐵心，其最大質量因數在電流頻率為1000~1500赫範圍內等於14。因此它的下限工作頻率取為1000赫，而上限為1410赫。選擇上限頻率為1410赫的意義，在於電路由一個頻率便於改變為另一個頻率，這是借助於兩個同一類型相等容量的電容器。

耦合系數 k 決定於感應器的結構與尺寸，以及它們之間空氣間隙 l_e 的數值。這個關係是由對標準的單槽路（單頻）感應器進行試驗而得到的，如第5圖所示。根據這個關係，當空氣間隙 $l_e = 200$ 公厘時，耦合系數 $k = 0.14$ 。將 k 值與 Q_s 及 Q_n 值代入公式（5），則

$$K_{ss} = 1 + k^2 Q_s Q_n = 1 + 0.14^2 \times 14 \times 14 = 5.$$

這就是說，當感應器諧振且它們之間空氣間隙大小於200公厘時，線路感應器能使機車感應器電路中電流降低五分之四。

當感應器失諧時，它們之間相互作用顯著地降低。依電路失



第5圖 機車與線路感應器之間耦合系數
與感應器之間空氣間隙的關係曲線：

a —— 對單頻感應器； b —— 對雙頻感應器

諧程度可將相互作用系数公式写成下面的形式：

$$K_{\theta} = \sqrt{\left[1 + \frac{k^2 Q_A Q_n}{1 + (\delta_n Q_n)^2} \right]^2 + \left[\delta_n Q_n - \frac{k^2 Q_n^2 Q_A \delta_n}{1 + (\delta_n Q_n)^2} \right]^2}, \quad (6)$$

式中 $\delta_n = \frac{\Delta L_n}{L_n} + \frac{\Delta C_n}{C_n}$ ——机車电路电感及电容与額定值总的相对偏差；

$\delta_n = \frac{\Delta L_n}{L_n} + \frac{\Delta C_n}{C_n}$ ——綫路电路电感及电容与額定值总的相对偏差。

式(6)是由式(1)推导来的：系將式(2)的 L_A 值与式(3)的 L_n 值代入式(1)，同时进行一些簡單变换而得。

当机車感应器諧振、綫路感应器失諧时，相互作用系数以 K_{θ_1} 表示。

K_{θ_1} 与綫路电路失諧程度的关系如式(7)所示，將式(6)代入 $\delta_n = 0$ ，即得：

$$K_{\theta_1} = \sqrt{\left[1 + \frac{k^2 Q_A Q_n}{1 + (\delta_n Q_n)^2} \right]^2 + \left[\frac{k^2 Q_n^2 Q_A \delta_n}{1 + (\delta_n Q_n)^2} \right]^2}. \quad (7)$$

当 $Q_A = Q_n = 14$ 且 $k = 0.15$ 时，这个关系如第6圖中所示的圖形。

由第6圖中的圖形得出結論，当綫路感应器的电感（或电容）与額定值偏差不大，不超出5%时，相互作用系数的降低是比较微小的，但当失諧到10%时，它从5降到3，亦即減少 $\frac{2}{5}$ 。这表明綫路感应器精确的調諧，以及它的穩定度对保証可靠地从綫路向机車傳輸反应的重要性。由於这些，在綫路感应器中应用具有容量高度稳定之 KCl 型密封的云母电容器。它們的溫度系数不超过 $0.0002/1^\circ\text{C}$ ，而感应器綫圈电感的溫度系数約为 $0.0004/1^\circ\text{C}$ 。这样一来，綫路感应器可能的最大失諧，当周圍空氣变化 50°C 时为：

$$\delta_n = \frac{\Delta L_n}{L_n} + \frac{\Delta C_n}{C_n} = (0.0002 + 0.0004) 50 = 0.03 \text{ 或 } 3\%.$$

假如再估計到工厂調諧不正确，在这种情况下 δ_n 可能达2%，則線路感应器总的最大失諧不超过5%。在这样失諧程度的情况下，第6圖可見相互作用系数降低20%，这是完全容許的。

現在讓我們研究一下，当線路感应器諧振时，机車感应器电路失諧对相互作用系数数值的影响。

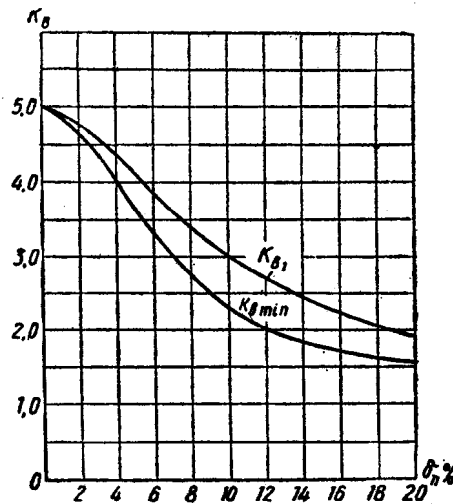
假如線路感应器成諧振状态，即 $\delta_n = 0$ ，則式(6)可写成以下的形式：

$$K_{g_2} = \sqrt{\left[1 + k^2 Q_n Q_A \right]^2 + \left[\delta_A Q_A \right]^2}. \quad (8)$$

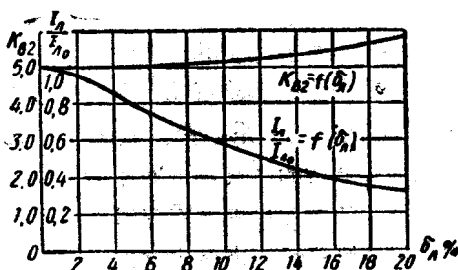
將此式与線路及机車感应器諧振时 K_g 的式(5)比較，相

互作用系数並未減小，它隨着机車感应器失諧的增加，而增大。这是因为線路感应器的影响依然如故，而机車感应器电路的失諧，却引起其中电流附帶的降低。

但是从式(8)画出的第7圖看到，相互



第6圖 相互作用系数与線路感
应器失諧程度的关系曲綫



第7圖 相互作用系数及机車感应器电路
电流降低与其电路失諧值大小的关系曲綫

作系数甚至失谐值 δ_A 很大时增加并不显著。

在第7圖中也表示出，机車电路中电流变化与其失谐值 δ_A 的关系，这个关系是用計算方法由下式而得到的

$$\frac{I_A}{I_{A0}} = \frac{1}{\sqrt{1 + (\delta_A Q_A)^2}}, \quad (9)$$

式中 I_A ——当失谐 δ_A 时机車感应器电路中的电流。

式(9)系熟知的电路谐振曲線方程式；它可由式(6)导出，估計到当沒有線路感应器的影响时， $k=0$ ，則 $K_A = \frac{I_{A0}}{I_A}$ 。

由第7圖曲綫可以看出，机車电路失谐並不显著增加相互作用系数，但却显著降低机車电路中的电流，甚至連失谐 δ_A 值不大时也是这样。例如，当失谐5%时，交流減少20%。而当失谐到12%时減少一半。这表明，机車感应器电路的准确調諧也有重要的意义，特別是，若考慮机車电路中电流的降低，則不仅引起机車設備对線路感应器反应的灵敏度提高，而且对各种外来反应的灵敏度也提高，由於这些反应能引起自动停車裝置錯誤动作。这些反应是鋼軌电流、線路上金屬物質、电源电压冲动及电子管电極振动等等的影响。由机車电路失谐引起灵敏度的容許提高量不超过25%，这个电路的失谐数值可由第7圖曲綫确定，不應該超过5~6%。

当線路感应器谐振时，机車电路失谐对机車設備可靠地接受从線路上傳輸来的反应不会引起危险情况。由此得出結論，机車感应器失谐与線路感应器失谐的影响有原則上的区别。然而，当兩感应器同时失谐时，机車感应器失谐的影响可能在个别情况下是不良的。因为，当 δ_A 与 δ_n 存在某些比例关系，考慮到它們电抗的符号时，線路感应器反映到机車电路的电抗，可能补偿机車电路原来的电抗，結果其中电流降低的程度比机車感应器谐振时要小。从式(6)看出，在下式保持恒等时，才發生这种情况

$$\delta_A Q_A = \frac{k^2 Q_n^2 Q_A \delta_n}{1 + (\delta_n Q_n)^2}, \quad (10)$$